

## ابزار سوراخ کاری ارتعاشی و بررسی نیروی محوری در فرآیند سوراخ کاری ارتعاشی آلومینیوم 2024-T6\*

(یادداشت پژوهشی)

حسین پاک طینت<sup>(۱)</sup> سعید امینی<sup>(۲)</sup> علیرضا بارانی<sup>(۳)</sup> علیرضا فدائی تهرانی<sup>(۴)</sup>

**چکیده** فرآیند سوراخ کاری ارتعاشی (Vibration Drilling-VD) از جمله روش های جدید ماشین کاری است که در آن ارتعاشات طولی (اغلب با فرکانس بالا و بیشتر از 16kHz) و دامنه کوچک (معمولاً بین 2 تا 30µm) برای تحریک ابزار به کار می رود؛ به طوری که درگیری ابزار با قطعه کار حین پیش روی محوری قطع و وصل می گردد. در این پژوهش دو ابزار ارتعاشی برای انجام فرآیند سوراخ کاری ارتعاشی تحلیل و ساخته شده است. از نرم افزارهای المان محدود برای انجام تحلیل مودال استفاده گردیده است. ابزارهای ارتعاشی به گونه ای طراحی می گردند که فرکانس تشدید منطبق بر فرکانس تشدید ترانسدایور (مبدل صوتی) داشته باشند. برای انجام فرآیند سوراخ کاری ارتعاشی یک مکانیزم چرخشی طراحی و ساخته شده است. این مکانیزم قادر است که فرآیند سوراخ کاری ارتعاشی را به گونه ای انجام دهد که دوران و ارتعاش همزمان به مته اعمال گردد. پس از انجام تست های اولیه، تأثیر اضافه شدن ارتعاشات اولتراسونیک در فرآیند سوراخ کاری 2024-T6 بررسی می شود و با فرآیند سوراخ کاری معمولی مقایسه می گردد. پارامترهای نیروی محوری و نوع براده در هر دو فرآیند سوراخ کاری ارتعاشی و معمولی بررسی و مقایسه می گردند. نتایج بیانگر کاهش مؤثر نیروی محوری در سوراخ کاری ارتعاشی نسبت به سوراخ کاری معمولی می باشد.

**واژه های کلیدی** سوراخ کاری، سوراخ کاری ارتعاشی، 2024-T6، اولتراسونیک.

### Vibration Drilling Tool and Thrust Force Investigation in Vibratory Drilling Process of Al 2024-T6

H. Paktinat S. Amini A. Barani A. Fadaei Tehrani

**Abstract** Vibratory drilling (VD) process is a new modern technology where longitudinal wave with high frequency (more than 16 kHz) and low amplitude (usually between 2 up to 30 µm) is superimposed on the movement of cutting tool, resulting in connection and disconnection of cutting tool engagement with workpiece. In this study, in order to perform vibratory drilling process, two vibration tools are designed and fabricated. ANSYS software is used to accomplish modal analysis. Using this software, it is possible to design vibration tools (horn and drill) to have resonance frequency equals to transducer frequency. A rotary mechanism is designed to perform vibratory drilling on a lathe machine. This set-up is able to do vibratory drilling process while both vibration and rotation are applied to the movement of drill. This mechanism (rotary vibratory drilling) has ability to drill various workpiece with different sizes and materials. After primary tests, the effect of is able drilling is studied and compared with conventional drilling while specimen is Al2024-T6. Thrust force and chip morphology are two studied parameters in this paper. The obtained results showed a notable reduction of thrust force in vibratory drilling process over the conventional one.

**Key Words** Drilling, Vibratory Drilling, Al2024-T6, Ultrasonic.

\* تاریخ دریافت مقاله ۹۱/۶/۲۰ و تاریخ پذیرش آن ۹۲/۸/۷ می باشد.

(۱) دانشجوی دکترا، گروه ساخت و تولید، دانشکده مهندسی مکانیک، دانشگاه کاشان.

(۲) نویسنده مسئول، دانشیار، گروه ساخت و تولید، دانشکده مهندسی مکانیک، دانشگاه کاشان. Amini.s@kashanu.ac.ir

(۳) دانشجوی دکترا، گروه ساخت و تولید، دانشکده مهندسی مکانیک، دانشگاه صنعتی اصفهان.

(۴) دانشیار، گروه ساخت و تولید، دانشیار، دانشکده مهندسی مکانیک، دانشگاه صنعتی اصفهان.

## مقدمه

مبنای فرآیند سوراخکاری ارتعاشی مانند سوراخکاری معمولی می‌باشد با این تفاوت که برای بهبود شرایط ماشین‌کاری، ارتعاشات طولی نیز به حرکت مته اضافه می‌گردد. این فرآیند را می‌توان برخلاف سوراخکاری اولتراسونیک (به کمک ذرات ساینده) برای دامنه وسیعی از مواد به کار برد. در فرآیند سوراخکاری اولتراسونیک (همراه با ذرات ساینده)، ارتعاشات اولتراسونیک از طریق یک هد ارتعاشی به ذرات ساینده معلق در گل ساینده منتقل می‌شود. این ذرات در اثر ارتعاش سرعت می‌گیرند و به سمت سطح قطعه کار پرتاب می‌شوند. در اثر برخورد ذرات ساینده به سطح قطعه کار و رخداد مکانیزم شکست ترد، ذرات براده از قطعه جدا می‌شوند. از آنجا که مکانیزم براده‌برداری در فرآیند سوراخکاری اولتراسونیک شکست ترد است (به کمک ذرات ساینده)؛ بنابراین این فرآیند تنها برای مواد ترد کاربردی است.

محققان پژوهش‌های متنوعی روی فرآیند سوراخکاری ارتعاشی انجام داده‌اند. فرآیند ترکیب امواج اولتراسونیک با ماشین‌ابزارهای معمولی توسط کومابه و همکارانش [1] در حدود سال ۱۹۵۸ شروع شد. او نشان داد که نیروی برشی پالسی مزیت‌های زیادی را از جمله جابه‌جایی گرمای برش و افزایش عمر ابزار به دنبال دارد. در سال ۱۹۹۱ تاکیاما و همکارش [2] فرآیند اعمال ارتعاش اولتراسونیک به قطعه کار را در سوراخکاری ارتعاشی بررسی نمود. آن‌ها بهبود در سوراخکاری ارتعاشی با فرکانس بالا (Frequency Vibration Assisted Drilling- High) (HFVAD) آلومینیوم را نشان دادند و گزارش کردند که ارتفاع پلیسه تا ۷۵ درصد کاهش یافت. جانگ و وانگ [3] با آنالیز مسیر براده در سوراخکاری به کمک اولتراسونیک (با ارتعاش محوری) روی مواد چقرمه و نرم یک روش جدید را برای شکستن براده با کمک اولتراسونیک پیشنهاد کردند. لی و همکارانش [4] یک

کنترل شرایط ارتعاشی چندمرحله‌ای برای سوراخکاری ارتعاشی مواد کامپوزیتی لایه‌ای به وجود آوردند. بایستکی و همکارانش [5] سوراخکاری موادی چون صفحات نازک فلزی و شیشه را مورد بررسی قرار دادند. آن‌ها نتیجه گرفتند که سوراخکاری صفحات نازک آلومینیومی بدون استفاده از پشت‌بند در سوراخکاری ارتعاشی امکان‌پذیر است؛ در حالی که صفحات نازک آلومینیومی در سوراخکاری معمولی خم شدند. هم‌چنین کیفیت سطح شیشه در سوراخکاری ارتعاشی بهبود چشم‌گیری نسبت به سوراخکاری معمولی داشت. چنگ و بون [6] نشان دادند که کاهش اندازه پلیسه در سوراخکاری آلومینیوم از طریق روش VD امکان‌پذیر است. وانگ و همکارانش [7] به‌طور عملی سوراخکاری ارتعاشی با فرکانس کم را روی فیبر تقویت شده بررسی کردند. نتایج نشان داد که سوراخکاری ارتعاشی با فرکانس کم می‌تواند نیروهای محوری را کاهش دهد، اما شرایط ارتعاشی مطلوب برای شرایط برشی خاصی وجود دارد. آذرهوشنگ و اکبری [8] سوراخکاری ارتعاشی اینکونل ۷۳۸LC را مورد بررسی قرار دادند و دریافتند که کیفیت سطح در استفاده از این روش بهبود می‌یابد. پوجانا و همکارانش [9] نشان دادند که در سوراخکاری ارتعاشی با قطعه‌کار Ti6Al4V براده‌ها تمایل به خرد شدن دارند در صورتی که سوراخکاری معمولی براده‌های پیوسته ایجاد می‌کند. آن‌ها دلیل این امر را اثرات اولتراسونیک و برخوردهای مداوم سر مته با براده‌ها بیان کردند. جانگ [10] ثابت کرد که کاربرد ارتعاش با فرکانس 16KHz روی قطعه اثرات افزایش صلیبیت سوراخکاری، کاهش لغزش مته و کاهش خطاهای اندازه سوراخ و افزایش عمر مته را دارد. لین و همکارانش [11] سوراخکاری به کمک اولتراسونیک اینکونل 718 را مورد مطالعه قرار دادند که نتیجه آن کاهش اندازه براده و تغییرات کمتر گشتاور بود. هم‌چنین با تغییر فرکانس‌ها توانایی سوراخکاری بهبود کمی و در مقابل عمر مته به‌طور چشم‌گیری در

نتایج بیانگر بهبود در استفاده از سوراخ کاری ارتعاشی نسبت به سوراخ کاری معمولی می باشد.

### طراحی، ساخت و تست ابزار ارتعاشی

به طور کلی سه مود ارتعاشی وجود دارد: خمشی، پیچشی و طولی. برای طراحی یک ابزار ارتعاشی سوراخ کاری نیاز به مود طولی مجموعه می باشد. در این پژوهش از نرم افزارهای المان محدود مانند انسیس برای انجام تحلیل ارتعاشی استفاده شد. یک ابزار ارتعاشی سوراخ کاری شامل متمرکزکننده و مته می باشد. در طراحی ابزار ارتعاشی سوراخ کاری باید به چند نکته توجه شود:

(۱) فرکانس ارتعاشی طولی ابزار منطبق با فرکانس ارتعاشی طولی ترانسدیوسر باشد (در این پژوهش فرکانس طبیعی ترانسدیوسر ۲۰kHz است).

(۲) قطر ابتدایی متمرکزکننده (هورن) کمتر از قطر ترانسدیوسر نباشد (به دلیل جلوگیری از ورود امواج صوتی از سطح ترانسدیوسر به هوا).

(۳) برای کاهش اثر ارتعاشات عرضی در حالت کشش کامل و یا فشار کامل، قطر متمرکزکننده باید کمتر از یک چهارم طول موج باشد.

(۴) برای کاهش اتلاف انرژی و متمرکز کردن انرژی اولتراسونیک، قطر انتهایی متمرکزکننده باید تا حد امکان کوچک باشد.

(۵) برای داشتن یک ابزار ارتعاشی خوب که هم ارتعاشات را به خوبی منتقل کند و هم باعث تقویت دامنه ارتعاشات شود، ترکیبی از شکل پروفیل های مناسب استفاده شود. توجه به این نکات باعث افزایش راندمان فرآیند می شود. ذکر این نکته ضروری است که برای طراحی یک انتقال دهنده خوب علاوه بر توجه بر نکات موجود و انجام تحلیل های متعدد با نرم افزار، نیاز به تجربه کاری بسیار بالایی می باشد. این انتقال دهنده و تقویت کننده ارتعاش به ظاهر شکلی ساده دارد اما برای طراحی این ابزار نیاز به تحلیل های گسترده و تست های عملی می باشد تا بتوان بعد از تحلیل های متعدد و

کاربرد ارتعاشات با دامنه کم افزایش یافت. آنها هم چنین تحت شرایط خاصی عمر ابزار ۲/۷ برابر بیشتر از فرآیند سوراخ کاری معمولی را گزارش کردند. ما و همکارانش [12] سوراخ کاری به کمک ارتعاشات دوبعدی یا بیضوی را بر روی قطعه کار آلومینیوم ۵۲s مورد بررسی قرار دادند. بر طبق گزارش های آنها نیروی محوری تا یک سوم، نیروی شعاعی تا یک دوم و ضخامت براده از یک دوم تا یک سوم کاهش یافتند. گاو و همکارش [13] سوراخ کاری ارتعاشی قطعاتی از جنس Al6061-T6 و فولاد SS41 را مورد بررسی قرار دادند. بر طبق گزارش های آنها لغزش سر مته و کیفیت سطح سوراخ در سوراخ کاری ارتعاشی نسبت به سوراخ کاری معمولی بهبود یافت اما عمر مته در سوراخ کاری ارتعاشی بدتر شد. چنگ و همکارش [14] نیروی محوری را در سوراخ کاری ارتعاشی Al6061-T6 مدل کردند. بر اساس گزارش های ارول و همکارانش [15] تورق سوراخ در سوراخ کاری ارتعاشی پلاستیک های تقویت شده نسبت به سوراخ کاری معمولی بهبود یافت. چنگ و همکارش [16] مدلی برای ارتفاع پلیسه در سوراخ کاری Al6061-T6 ارائه کردند و بر اساس گزارش های آنها با استفاده درست از ارتعاشات اولتراسونیک می توان ارتفاع پلیسه را کاهش داد. یوهایی و همکارانش [17] گزارش کردند که می توان در فرآیند میکرو سوراخ کاری ارتعاشی با افزایش نرخ پیش روی به زمان ماشین کاری کمتری رسید در حالی که عمر ابزار حفظ می گردد. نوجبایر و استول [18] از طریق آزمایش نشان دادند که در سوراخ کاری ارتعاشی آلیاژهای آلومینیوم عمر ابزار نسبت به روش معمولی بهتر می گردد. در این پژوهش دو ابزار ارتعاشی با دو قطر مته ۸mm و ۵mm ساخته شده است. مکانیزمی چرخشی برای انجام فرآیند سوراخ کاری ارتعاشی دورانی طراحی و ساخته شد. پارامترهایی از قبیل نیروی محوری و نوع براده بررسی و با فرآیند سوراخ کاری معمولی مقایسه گردید.

ابتدا نصف مدل به صورت دوبعدی ایجاد گردید و سپس با دوران مدل حول خط تقارن مدل سه بعدی ابزار ارتعاشی ایجاد شد. متمرکزکننده مورد نظر، یک متمرکزکننده سه المانی می باشد که دو المان استوانه‌ای (ابتدا و انتهای متمرکزکننده) به یک المان شعاعی شکل متصل شده است. المان اول به صورت پروفیل استوانه‌ای شکل طراحی شد تا این امکان را داشته باشد که بتوان با آن در مدت زمان طولانی بدون گرم شدن مجموعه کار کرد. سپس سطح مقطع با یک پروفیل شعاعی به طور آرام کوچک می شود تا علاوه بر متمرکز کردن انرژی اولتراسونیک از بازگشت امواج به ترانسدیوسر جلوگیری کند. بعد از آن سطح مقطع به صورت پروفیل استوانه‌ای تا انتها ادامه می یابد تا اتصال مته به متمرکزکننده راحت تر انجام شود (شکل ۱).



شکل ۱ مدل سه بعدی ابزار ارتعاشی

پس از دادن ضرایب هر جنس به جزو مربوط مدل مش بندی می شود (شکل ۲).



شکل ۲ مدل مش بندی شده

ساخت چند نمونه آزمایشی به ابزار مناسب دست پیدا کرد. همچنین لازم به ذکر است که ترانسدیوسر مورد استفاده در این پژوهش ساخت شرکت سوئیسی MPI است و نیاز به طراحی ترانسدیوسر نمی باشد. مشخصات و فرکانس طولی تشدید این ترانسدیوسر از طرف شرکت سازنده معرفی شده است و فقط نیاز به طراحی ابزاری (متمرکزکننده و مته) می باشد که فرکانس طولی تشدید مجموعه منطبق بر فرکانس طولی تشدید ترانسدیوسر باشد.

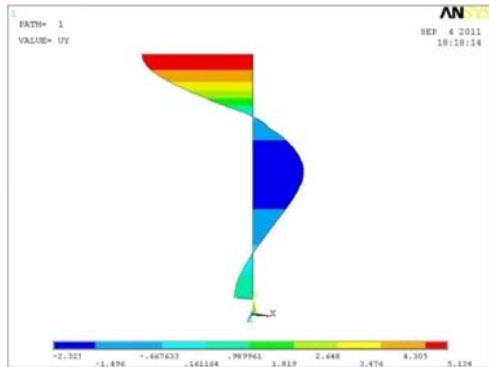
در این مطالعه دو ابزار ارتعاشی طراحی و ساخته شد. در ابتدا ابزار ارتعاشی مناسب برای مته 8mm طراحی گردید. برای داشتن دقت کافی در روند حل تحلیل، متمرکزکننده به صورت سه بعدی مدل گردید. برای انجام تحلیل ارتعاشی از نرم افزار انسیس استفاده گردید. مته به طول 100mm و به صورت یک استوانه کامل و با قطر معادل مدل سازی شد. متمرکزکننده ارتعاشی از جنس AI7075 و مته از جنس فولاد تندبر انتخاب گردیدند.

در نرم افزار انسیس سه مرحله کلی برای انجام یک تحلیل مودال وجود دارد: پیش پردازش، حل کردن و پس پردازش. در مرحله پیش پردازش انتخاب المان، خواص ماده یا مواد، مدل سازی هندسی، مش بندی و شرایط مرزی انجام می شود. تحلیل مودال به صورت سه بعدی انجام شد تا علاوه بر افزایش دقت تحلیل بتوان مودهای ارتعاشی دیگر را نیز مشاهده کرد. از دو المان solid92 و solid95 برای انجام تحلیل استفاده گردید. خواص آلومینیوم 7075 و فولاد تندبر به ترتیب برای متمرکزکننده و مته به نرم افزار داده شد. جدول (۱) این مقادیر را نشان می دهد.

جدول ۱ ضرایب جنس های موجود در آنالیز مودال

جنس	مدول یانگ (GPa)	ضریب پواسون	چگالی ( $\text{kg/m}^3$ )
آلومینیوم 7075	71/7	0/33	2810
فولاد تندبر	210	0/3	7800

شکل (۵) موج انتشار یافته در ابزار ارتعاشی را نشان می‌دهد.



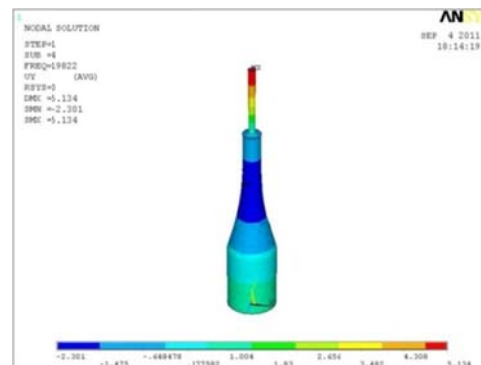
شکل ۵ شکل موج انتشار یافته در ابزار ارتعاشی

ارتعاش طولی یا منبسط و منقبض شدن طولی متمرکزکننده به دلیل ضریب پواسون باعث تغییر در ابعاد متمرکزکننده در سه جهت می‌شود. از طرفی برای آماده‌سازی یک سیستم ارتعاشی نیاز به گیره‌بندی سیستم یا مجموعه در نقاط خاصی می‌باشد که در این نقاط مجموعه حرکت نداشته باشد. در اصل این نقاط، نقاط تکیه‌گاه مجموعه می‌باشند. به دلیل این که مجموعه در حال ارتعاش اولتراسونیک می‌باشد این نقاط باید به درستی انتخاب شوند تا نخست در این نقاط جابه‌جایی وجود نداشته باشد و علاوه بر گیره‌بندی مناسب از باز شدن اتصالات جلوگیری شود و دوم، انتخاب نادرست این نقاط علاوه بر این که مودهای ارتعاشی را تغییر می‌دهد، باعث گرم شدن بسیار شدید سیستم و خرابی ترانسدیوسر خیلی زودتر از موعد مقرر می‌شود. برای پیدا کردن این نقاط می‌توان از روش‌های متفاوتی مانند نرم‌افزارهای اجزا محدود و یا آزمایش‌هایی بعد از ساخت متمرکزکننده استفاده کرد. به دلیل دقت خوب نرم‌افزارهای اجزا محدود، این نقاط به کمک نرم‌افزارها تعیین شدند. شکل (۶) منحنی تغییر شکل متمرکزکننده را در راستای محور متمرکزکننده نشان می‌دهد.

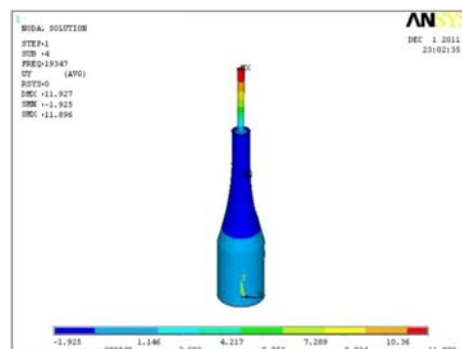
در نرم‌افزارهای المان محدود به‌طور خودکار

در مرحله حل کردن، انتخاب نوع تحلیل و نوع حلگر انجام می‌شود. در این قسمت تحلیل مودال برای تعیین مودهای ارتعاشی ابزار ارتعاشی انتخاب شد و در نهایت حل گر Block Lanczos به دلیل سه‌بعدی بودن مدل و حجم زیاد محاسبات انتخاب گردید. در ادامه اطلاعات مدل در نرم‌افزار به صورت ماتریسی درمی‌آیند. خصوصیات مدل به صورت ماتریس‌های جرم و سختی؛ و نیروها و جابه‌جایی‌ها به شکل برداری درمی‌آیند و توسط نرم‌افزار حل می‌شوند. زمان انجام تحلیل بسته به نوع تحلیل، هندسه قطعه، دوبعدی یا سه‌بعدی بودن تحلیل، شرایط مرزی و توان کامپیوتر از چند دقیقه تا چند ساعت طول خواهد کشید.

در مرحله پس پردازش می‌توان نتایج را به صورت عملی مشاهده کرد. مودها با بسامدهای مختلف همراه با انیمیشن حرکتی آن‌ها توسط نرم‌افزار قابل مشاهده می‌باشد (شکل‌های ۴ و ۳).

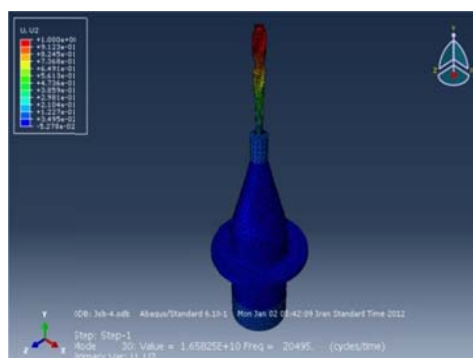


شکل ۳ مود طولی ابزار ارتعاشی (بسامد ۱۹۸۲۲) - solid 95



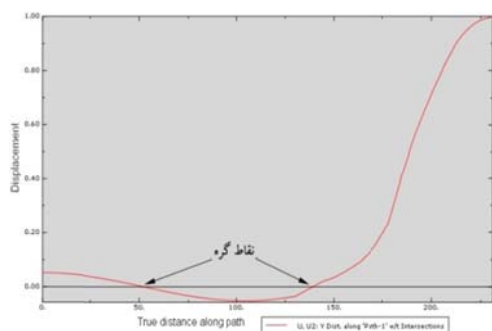
شکل ۴ مود طولی ابزار ارتعاشی (بسامد ۱۹۳۴۷) - solid 92

بهینه‌سازی شرایط ارتعاشی شکل متمرکزکننده و قطر مته تغییر کرد. برای ابزار ارتعاشی جدید به قطر مته 5mm اضافه شد. برای دقت بیشتر سعی شد که مته به صورت شکل واقعی مدل گردد. هم‌چنین به دلیل این که مدل‌سازی مته در نرم‌افزار انسیس کار مشکلی بود، از نرم‌افزار آباکوس برای انجام تحلیل مودال استفاده گردید. برای این کار ابتدا مدل هندسی مته و متمرکزکننده در نرم‌افزار کتیا (Catia) طراحی گردید و سپس ابزار ارتعاشی در نرم‌افزار آباکوس تحلیل مودال شد. شکل (۸) تحلیل مودال ابزار ارتعاشی را در نرم‌افزار آباکوس نشان می‌دهد.



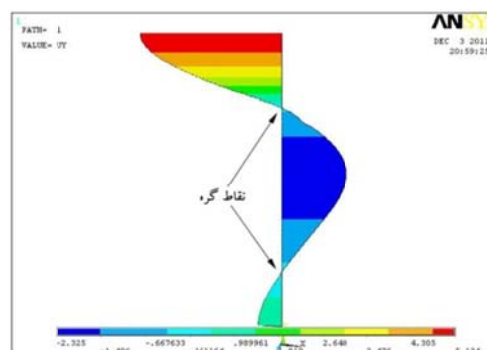
شکل ۸ تحلیل مودال ابزار ارتعاشی در نرم‌افزار آباکوس

این ابزار نیز مشابه ابزار قبلی یک ابزار دوگره‌ای می‌باشد. در گره اول فلنجی ایجاد گردید تا گیره‌بندی ابزار ارتعاشی راحت‌تر نسبت به ابزار ارتعاشی قبلی انجام شود. سعی شد تا حد امکان گره دوم در نزدیکی محل اتصال مته به متمرکزکننده قرار گیرد. شکل (۹) نقاط گره را برای این ابزار ارتعاشی نشان می‌دهد.

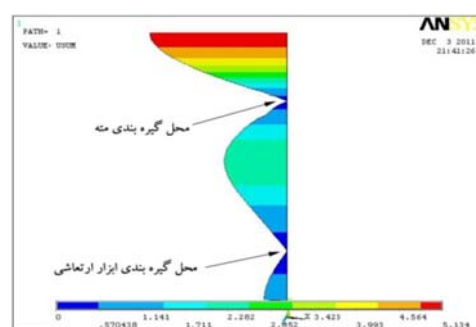


شکل ۹ انتشار موج در راستای ارتعاش

مقداری دامنه به موج ورودی می‌شود و براساس آن موج انتشار یافته در راستای ابزار ارتعاشی و هم‌چنین دامنه موج خروجی را می‌توان رسم کرد. هم‌چنین شکل (۷) منحنی تغییر شکل متمرکزکننده را در سه جهت (برآیند) نشان می‌دهد.

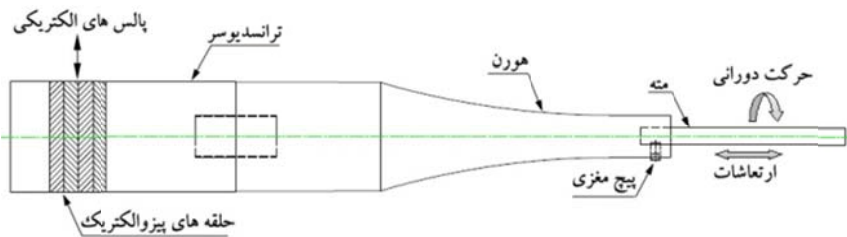


شکل ۶ شکل موج در راستای محور طولی متمرکزکننده

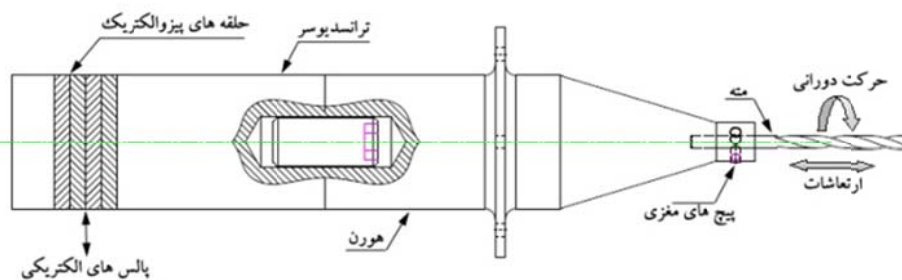


شکل ۷ شکل موج برآیند

مشاهده می‌شود نقطه یا نقاطی وجود دارد که ارتعاش در آن در تمام جهات صفر می‌باشد. این مکان‌ها به نقاط گره معروف هستند. ابزار ارتعاشی اول مورد استفاده در این پژوهش یک ابزار ارتعاشی دوگره‌ای می‌باشد که این گره‌ها در شکل مشخص شده‌اند. گره اول در انتهای قسمت استوانه‌ای از کف متمرکزکننده واقع شده است که این نقطه برای گیره‌بندی ابزار ارتعاشی انتخاب شد. هم‌چنین گره دوم به گونه‌ای طراحی گردید که گیره‌بندی مته توسط پیچ مغزی در نزدیکی همین نقطه انجام شود تا ارتعاشات اولتراسونیک باعث باز شدن پیچ نشود. در ادامه برای

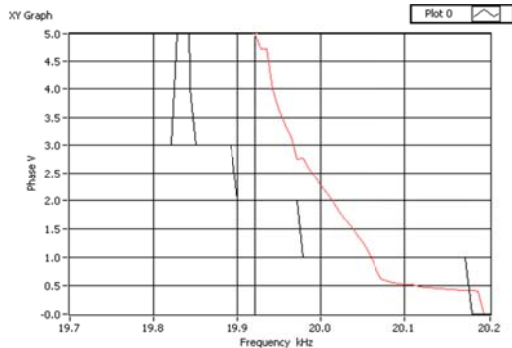


شکل ۱۰ طرح شماتیکی ابزار ارتعاشی، مته ۸mm

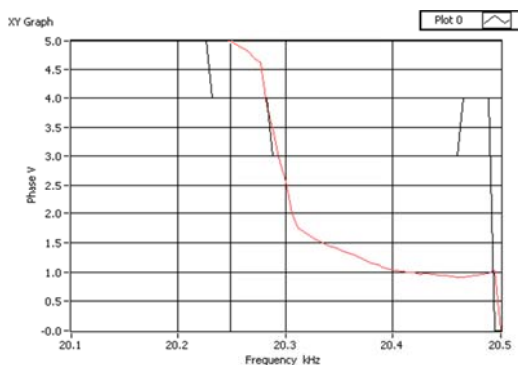


شکل ۱۱ طرح شماتیکی ابزار ارتعاشی، مته ۵mm

ارتعاشی انجام شده است (شکل های ۱۲ و ۱۳).



شکل ۱۲ اسکن ابزار ارتعاشی، مته ۸mm



شکل ۱۳ اسکن ابزار ارتعاشی، مته ۵mm

اگر از نقطه صفر بر روی محور عمودی خطی موازی محور افقی رسم شود، این خط نمودار را در دو نقطه قطع خواهد کرد. این نقاط به نقاط گره معروف هستند. هم چنین بسامد طراحی کمی بزرگ تر از مقدار معمول طراحی گردید (۲۰۴۹۵ سیکل در ثانیه). دلیل این امر آن است که بسامد تشدید ابزار ارتعاشی در حالت درگیری افت پیدا خواهد کرد. این افت باعث می شود که بسامد ابزار ارتعاشی در حین درگیری کمتر شود و به بسامد تشدید ترانسدیوسر نزدیک تر گردد. پس از تحلیل و استخراج ابعاد مورد نظر می توان ابزار ارتعاشی را مونتاژ کرد. ابزار ارتعاشی شامل ترانسدیوسر، متمرکزکننده و مته می باشد. شکل های (۱۰ و ۱۱) شکل شماتیک این دو ابزار را نشان می دهد.

پس از ساخت و مونتاژ ابزار ارتعاشی می توان آن را تست کرد. ژنراتور مورد استفاده در این پژوهش ساخت شرکت MPI می باشد. این ژنراتور قادر است که در محدوده انتخاب شده توسط اپراتور، دامنه انتخابی را جاروب کند و ما را از داشتن یا نداشتن بسامد تشدید آگاه سازد. این کار برای هر دو ابزار

قرص‌های پیزوالکتریک روی آن نصب گردیده است، به ژنراتور متصل شده است. این پیزوالکتریک‌ها تحت ولتاژ و بسامد مناسب و در اثر پدیده پیزوالکتریک شروع به ارتعاش می‌کنند. برای اعمال دوران به ابزار ارتعاشی و حرکت تغذیه به قطعه‌کار از مکانیزم شکل (۱۶) استفاده گردید.



شکل ۱۵ ابزار ارتعاشی، متنه ۵mm



شکل ۱۶ مجموعه سوراخ‌کاری ارتعاشی چرخشی، متنه ۵mm

همان‌طور که از شکل (۱۶) مشاهده می‌شود استفاده از این مکانیزم، توانایی سوراخ‌کاری قطعات با شکل و اندازه مختلف را ایجاد می‌کند. این قابلیت به دلیل امکان بستن قطعه‌کاری ثابت در یک فیکسچر مخصوص و ثابت می‌باشد. هم‌چنین به‌خاطر عدم اعمال ارتعاش به قطعه‌کار (عدم تأثیر قطعه‌کار در بسامد طبیعی مجموعه ارتعاشی) امکان استفاده از این فرآیند برای سوراخ‌کاری ارتعاشی انواع جنس‌های قطعه‌کار وجود دارد.

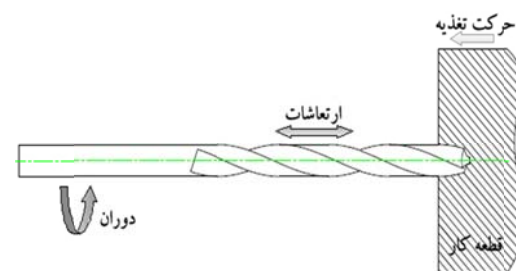
مشاهده می‌شود اختلاف کمی بین نتایج به‌دست آمده از حل تحلیل مودال و نتایج عملی وجود دارد که بیانگر دقت کافی در روند حل تحلیل اجزا محدود می‌باشد. لازم به ذکر است که در شکل‌های (۱۲ و ۱۳) محور افقی، مقادیر بسامد و محور عمودی، مقادیر فاز را نشان می‌دهد. طبق اطلاعات داده شده در کاتالوگ دستگاه محل برخورد خط قرمز (فاز) با عدد ۲/۵ مقدار بسامد تشدید است.

### طراحی و ساخت سیستم چرخشی

از روش‌های متفاوتی برای انجام فرآیند سوراخ‌کاری ارتعاشی استفاده شده است؛

- (۱) ارتعاش به ابزار و دوران به قطعه.
- (۲) ارتعاش به قطعه و دوران به ابزار.

در هر دو روش مذکور محدودیت‌هایی از جمله جنس قطعه‌کار و ابعاد آن مطرح می‌باشد. در این پژوهش برای رفع این محدودیت‌ها ارتعاش و دوران هر دو به ابزار داده خواهد شد و قطعه‌کار به سمت متنه در حال دوران و ارتعاش حرکت خواهد کرد. شکل (۱۴) طرح شماتیکی این حرکات را نشان می‌دهد.



شکل ۱۴ دوران و ارتعاش هر دو به ابزار

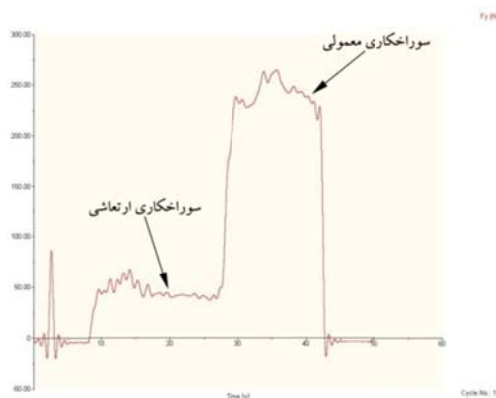
برای ایجاد حرکت ارتعاشی از ابزار ارتعاشی استفاده می‌شود. شکل (۱۵) شکل واقعی این ابزار ارتعاشی را نشان می‌دهد. همان‌گونه که از شکل مشخص است ابزار ارتعاشی شامل متمرکزکننده و متنه به ترانسدیوسر متصل شده است. خود ترانسدیوسر که



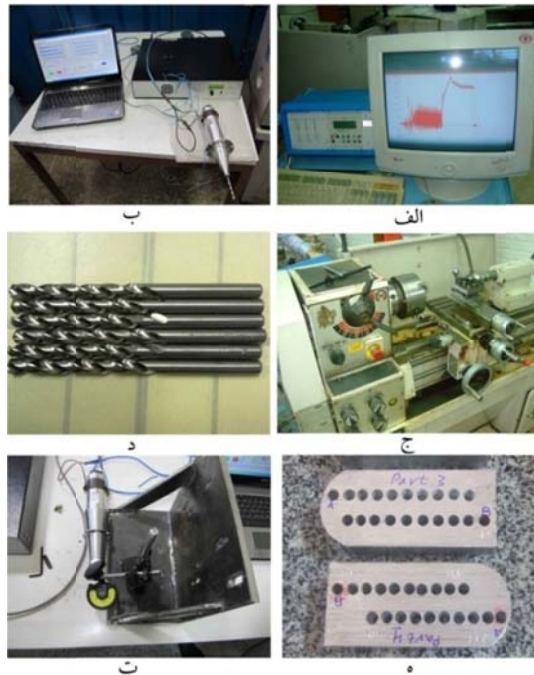
میلی متر: برای اندازه گیری دامنه ارتعاشی.  
در آزمایش های انجام شده، سوراخ کاری ارتعاشی بدون استفاده از خنک کار انجام شد. شکل (۱۷) وسایل آزمایش را نشان می دهد.

### نحوه انجام آزمایش ها و پارامترهای مورد آزمایش

پس از آماده سازی مجموعه ابزار ارتعاشی چرخشی، دینامومتر روی میز عرضی دستگاه تراش نصب شد و سوراخ کاری روی قطعه کار مکعبی از جنس Al2024-T6 صورت گرفت. برای انجام هر آزمایش ابتدا دستگاه تراش طبق سرعت دورانی و پیش روی مورد نظر تنظیم شد. سپس به منظور مشاهده بهتر نتیجه استفاده از امواج اولتراسونیک طولی و تفاوت آن با سوراخ کاری معمولی، ابتدا به ابزار ارتعاش داده شد و پس از پیمودن نیمی از عمق سوراخ در حین انجام عملیات، ارتعاش اولتراسونیک قطع شد و ادامه سوراخ کاری بدون ارتعاش انجام شد. در این حالت مقایسه نیروی محوری در دو فرآیند سوراخ کاری ارتعاشی و معمولی بهتر انجام می شود. شکل (۱۸) نمودار نیروی محوری سوراخ کاری را نشان می دهد.



شکل ۱۸ نمودار نیرو در دو فرآیند سوراخ کاری معمولی و سوراخ کاری ارتعاشی، سرعت برشی ۹۵ دور بر دقیقه، پیش روی ۰/۱۰۴ میلی متر بر دور، قطر مته ۸mm

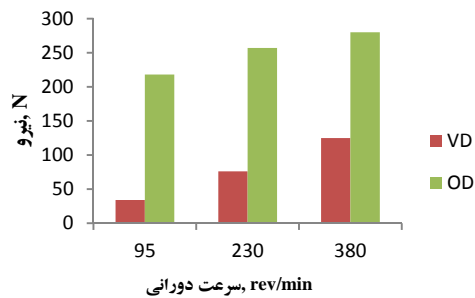


شکل ۱۷ وسایل آزمایش؛ الف) دینامومتر، ب) ژنراتور همراه با ابزار ارتعاشی، ج) دستگاه تراش، د) مته از جنس فولاد تندبر، ه) قطعه کار، ت) ساعت برای اندازه گیری دامنه ارتعاش.

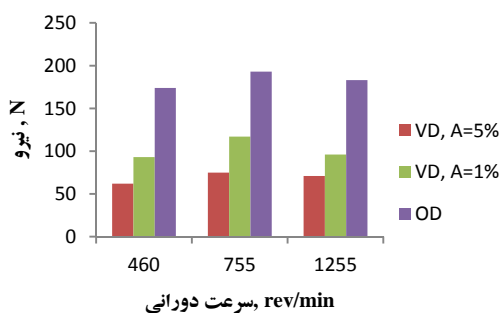
### وسایل آزمایش

وسایل مورد استفاده در آزمایش ها عبارتند از:  
دستگاه تراش اونیورسال (AJAX-AJ 725): برای انجام عملیات سوراخ کاری.  
ژنراتور (MPI GENERATOR): برای تبدیل جریان الکتریکی ۵۰Hz به جریان الکتریکی با بسامد بالا. دامنه بسامد ژنراتور ۵ تا ۷۰kHz و توان آن ۳۰۰۰W می باشد.  
دینامومتر (KISTLER- 9257B): برای اندازه گیری نیروی محوری در سوراخ کاری.  
مته: مته به دو قطر ۵ و ۸ میلی متر و از جنس فولاد تندبر.  
جنس قطعه کار: آلومینیوم 2024-T6 به ابعاد ۲۰×۳۰×۸۵ mm.  
میکروسکوپ نوری (Dino-Lite Digital Microscope): برای تصویر برداری.  
ساعت اندازه گیری MAHR با دقت ۰/۰۰۱

و سوراخ‌کاری ارتعاشی در یک نمودار ترسیم شدند. در نمودارها محور افقی بیانگر سرعت برشی و محور عمودی نیروی محوری سوراخ‌کاری را نشان می‌دهد.



شکل ۱۹ نمودار تغییرات نیرو نسبت به سرعت برشی در پیش‌روی  $0.104 \text{ mm/rev}$ ، مته  $8 \text{ mm}$



شکل ۲۰ نمودار تغییرات نیرو نسبت به سرعت برشی در پیش‌روی  $0.104 \text{ mm/rev}$ ، مته  $5 \text{ mm}$

به‌طور کلی با افزایش سرعت برشی نیروی اصطکاک روی سطح قلم و نیروی سوراخ‌کاری کاهش می‌یابد و این در صورتی است که لبه انباشته به‌وجود نیاید. افزایش نیروی برشی در سرعت‌های کم به‌دلیل تشکیل لبه انباشته می‌باشد. با توجه به نمودارها با افزایش سرعت برشی نیروی محوری در سوراخ‌کاری با ابزار ارتعاشی با مته  $8 \text{ mm}$  افزایش می‌یابد. این افزایش نیرو به‌دلیل تشکیل لبه انباشته زیاد در ماشین‌کاری آلومینیوم می‌باشد. در نمودارهایی که سوراخ‌کاری با مته  $5 \text{ mm}$  انجام شده است، در ابتدا

هدف اصلی این پژوهش بررسی عملی نیروی سوراخ‌کاری با تغییرات سرعت برشی و نرخ پیش‌روی در دو فرآیند سوراخ‌کاری ارتعاشی و معمولی و مقایسه آن‌ها با یکدیگر می‌باشد. سرعت‌های برشی و نرخ‌های پیش‌روی با توجه به قطر مته و داشتن شرایط ارتعاشی مطلوب انتخاب شدند. جدول‌های (۲ و ۳) این مقادیر را برای دو مته استفاده شده در این مطالعه نشان می‌دهد.

جدول ۲ پارامترهای مورد آزمایش، مته  $8 \text{ mm}$

پارامترها	مقادیر پارامترها
دامنه ارتعاش ( $\mu\text{m}$ )	۸
سرعت پیش‌روی ( $\text{mm/rev}$ )	$0.348, 0.208, 0.104$
سرعت دورانی ( $\text{rev/min}$ )	$380, 230, 95$

جدول ۳ پارامترهای مورد آزمایش، مته  $5 \text{ mm}$

پارامترها	مقادیر پارامترها
دامنه ارتعاش ( $\mu\text{m}$ )	۵
سرعت پیش‌روی ( $\text{mm/rev}$ )	$0.348, 0.208, 0.104$
سرعت دورانی ( $\text{rev/min}$ )	$1255, 755, 460$

در این پژوهش برای عدم تأثیر سایش ابزار یا لبه انباشته بر روی نیروی محوری در سوراخ‌کاری معمولی، پس از انجام یک سوراخ کامل، مته تعویض گردید و برای سوراخ‌کاری جدید مته جدیدی جایگزین شد. همچنین نیروی اندازه‌گیری شده توسط دینامومتر چه در فرآیند سوراخ‌کاری معمولی و چه در فرآیند سوراخ‌کاری ارتعاشی، نیروی متوسط در کل عمق سوراخ می‌باشد.

## نتایج و بحث

شکل‌های (۲۰ و ۱۹) تأثیر سرعت برشی را بر روی نیروی محوری نشان می‌دهد. برای بررسی و مقایسه بهتر نتایج، نمودارهای مربوط به سوراخ‌کاری معمولی

افزایش می‌یابد. دلیل آن این است که بر اساس مکانیک برش فلزات هر چه میزان بار بیشتر شود در اصل یعنی سطح مقطع براده تغییر شکل نیافته بزرگ‌تر می‌شود، لذا شکل گرفتن براده مشکل‌تر می‌شود و به همین دلیل نیروی محوری افزایش می‌یابد. هم‌چنین مقادیر دامنه ۱٪ و ۵٪ توسط دستگاه ژنراتور اولتراسونیک تنظیم شد که افزایش توان اولتراسونیک را نشان می‌دهد. کاهش بیشتر نیروها در دامنه ۵٪ به این علت است که در این حالت ژنراتور توان بیشتری مصرف کرده و تحت نیروهای ماشین‌کاری کمتر از حالت رزونانس خارج شده است. مهم‌ترین دستاورد این پژوهش کاهش مؤثر نیروی محوری سوراخ‌کاری در فرآیند سوراخ‌کاری ارتعاشی نسبت به سوراخ‌کاری معمولی می‌باشد که در پژوهش‌های قبلی تا این حد کاهش نیرو (حتی بر روی جنس مشابه) گزارش نشده است. دلیل کاهش بسیار مؤثرتر نیرو در این پژوهش به طراحی چندین ابزار ارتعاشی گوناگون، تست عملی ابزار ارتعاشی و هم‌چنین گیره‌بندی مناسب مجموعه در نقاط گره مربوط می‌شود.

برای مقایسه سرعت ارتعاش ابزار بر روی نیروی محوری پارامتری تحت عنوان نسبت سرعت تعریف شد. این نسبت عبارت است از ماکزیمم سرعت ارتعاشی به سرعت ماشین‌کاری.

اگر  $u$  رابطه مسیر ابزار برنده باشد آن‌گاه:

$$u = A \sin(\omega t) \quad (1)$$

که  $A$  دامنه ارتعاش،  $t$  زمان و اگر  $f$  بسامد ارتعاش باشد آن‌گاه  $\omega = 2\pi f$ . برای به‌دست آوردن سرعت ارتعاشی باید از  $u$  مشتق گرفت.

$$\dot{u} = A\omega \cos(\omega t) \quad (2)$$

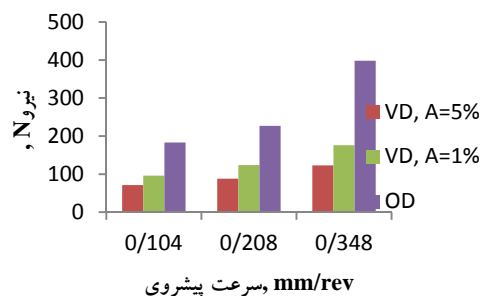
طبق رابطه (۲) ماکزیمم سرعت ارتعاشی برابر  $A\omega$  است. بنابراین نسبت سرعت را می‌توان از رابطه

نیروی محوری با افزایش سرعت افزایش و سپس کاهش می‌یابد. افزایش نیرو مربوط به محدوده سرعت‌هایی است که لبه انباشته تشکیل می‌گردد. کاهش نیرو در سرعت‌های بالاتر به دلیل کاهش لبه انباشته می‌باشد. در واقع در سرعت‌های بالاتر درجه حرارت در منطقه ماشین‌کاری افزایش می‌یابد و باعث نرم‌تر شدن لبه انباشته می‌گردد و اندازه آن کاهش می‌یابد. نیروها در استفاده از مته ۵mm به دلیل کاهش سطح مقطع براده تغییر شکل نیافته، نسبت به مته ۸mm کوچک‌تر می‌باشند.

شکل (۲۱ و ۲۲) تغییرات نیروی محوری را در سوراخ‌کاری ارتعاشی و معمولی نسبت به نرخ پیش‌روی نشان می‌دهند.



شکل ۲۱ نمودار تغییرات نیرو نسبت به پیش‌روی در سرعت برشی ۳۸۰ rev/min، مته ۸mm



شکل ۲۲ نمودار تغییرات نیرو نسبت به پیش‌روی در سرعت برشی ۱۲۵۵ rev/min، مته ۵mm

همان‌گونه که از نمودارها مشخص است با افزایش نرخ پیش‌روی نیروی محوری نیز در سوراخ‌کاری

زیر محاسبه کرد.

$$\text{نسبت سرعت (SR)} = \frac{\text{سرعت ارتعاش}}{\text{سرعت ابزار}}$$

$$= \frac{2\pi Af}{N \times F} \quad (3)$$

که

A: دامنه ارتعاش (mm)

f: بسامد ( $\text{min}^{-1}$ )

N: سرعت دورانی (rev/min)

F: سرعت پیش‌روی (mm/rev)

این پارامتر برای ابزار ارتعاشی با متنه  $8\text{mm}$  محاسبه شده و در شکل (۲۳) آورده شده است.



شکل ۲۳ تأثیر نسبت سرعت SR روی نیروی محوری در فرآیند سوراخ‌کاری ارتعاشی، متنه  $8\text{mm}$

مطابق شکل (۲۳) هر چه نسبت سرعت بیشتر باشد کاهش نیرو نیز بیشتر می‌شود. به عبارت دیگر هر چه زمان درگیری ابزار با قطعه کار کمتر گردد، اصطکاک بین ابزار و قطعه کار بیشتر کاهش می‌یابد که در نهایت منجر به کاهش نیرو می‌گردد.

شکل (۲۴) تأثیر ارتعاشات اولتراسونیک را بر روی شکل براده نشان می‌دهد.

در تمام فرآیندهای ماشین‌کاری چگونگی شکل‌گیری براده و نوع آن یکی از مهم‌ترین پارامترهایی است که شرایط ماشین‌کاری را تعیین می‌کند. در کل تشکیل براده به سه صورت تشخیص داده شده است: (۱) براده ممتد، (۲) براده ممتد با لبه

انباشته و (۳) براده منفصل. از این میان براده‌های پیوسته بدترین شرایط را دارند. این براده‌ها نه تنها از نظر تشکیل لبه انباشته نسبت به بقیه براده‌ها حادث‌تر هستند بلکه با پیچیده شدن به دور ابزار شرایط بدی در محیط ماشین‌کاری فراهم می‌کنند. به همین دلیل در فرآیند ماشین‌کاری ایجاد براده‌های منفصل به دلیل عدم تشکیل لبه انباشته و شرایط ماشین‌کاری بهتر، نسبت به براده‌های ممتد ترجیح داده می‌شوند. براده‌ها در سوراخ‌کاری ارتعاشی به صورت منقطع هستند. در فرآیند سوراخ‌کاری ارتعاشی حرکت ارتعاشی ابزار خود شبیه به یک براده‌شکن عمل می‌کند و باعث می‌شود که براده‌ها از حالت پیوسته خود خارج شوند و یا به دلیل ضربات وارد به براده در حال جدا شدن از قطعه کار شکست براده‌ها بهتر می‌شود.



شکل ۲۴ تأثیر ارتعاشات اولتراسونیک بر روی شکل براده، الف) سوراخ‌کاری معمولی، ب) سوراخ‌کاری ارتعاشی

### نتیجه‌گیری

در این پژوهش به بررسی نیروی محوری و شکل براده در فرآیند سوراخ‌کاری ارتعاشی و مقایسه آن با سوراخ‌کاری معمولی پرداخته شد. ابزار ارتعاشی برای دو متنه به قطر ۸ و ۵mm برای انجام فرآیند سوراخ‌کاری ارتعاشی طراحی و ساخته شد. تحلیل

به سوراخ کاری معمولی مقایسه گردید و این نتایج حاصل گردید:

- نیروی محوری در فرآیند سوراخ کاری ارتعاشی نسبت به فرآیند سوراخ کاری معمولی کاهش می یابد.

- براده ها در سوراخ کاری ارتعاشی به صورت منقطع و ناپیوسته می باشند.

- با افزایش سرعت پیشروی، نیرو در هر دو فرآیند سوراخ کاری معمولی و سوراخ کاری ارتعاشی افزایش می یابد.

- در فرآیند سوراخ کاری ارتعاشی، با افزایش دامنه ارتعاش نیروی محوری کاهش می یابد.

مودال برای رسیدن به مود طولی ابزار ارتعاشی و منطبق با بسامد تشدید ترانسدیوسر با نرم افزارهای المان محدود انجام گردید. برای ایجاد قابلیت ارتعاش و دوران به مته، یک سیستم سوراخ کاری ارتعاشی چرخشی طراحی و ساخته شد. این سیستم قادر است که به طور هم زمان قابلیت دوران و ارتعاش را به ابزار برش (مته) بدهد. پس از مونتاژ مجموعه و اطمینان از عملکرد صحیح و مناسب ابزار ارتعاشی، آزمایش ها بر روی قطعه کار Al2024-T6 انجام گردید. آزمایش ها در سرعت ها و نرخ های پیش روی متفاوت انجام شد و نیروی محوری در فرآیند سوراخ کاری ارتعاشی نسبت

## مراجع

1. Kumabe, J., Fuchizawa, S., Soutome, T., Soutome, Y. and Nishimoto, Y., "Ultrasonic superposition vibration cutting of ceramics", *Precision Eng*; Vol. 11, No. 2, pp. 71-77, (1989).
2. Takemaya, H. and Kato, S., "Burrless drilling by means of ultrasonic assistance", *Annals of CIRP*; Vol. 40, No. 1, pp. 83-86, (1991).
3. Zhang, D. and Wang L., "Investigation of chip in vibration drilling", *Int. J. Mach. Tools Manufact.*, Vol. 38, pp.165-176, (1998).
4. Li, Z.J., Hong, M.S., Wang, L.J., Zhao, H.W., Su, H. and Wei, Y.L., "Machining accuracy analysis for step multi-element varying parameter vibration drilling of laminated composite materials", *International Journal of Advance Manufacturing Technology*, Vol. 21, pp. 760-768, (2003).
5. Babitsky, V.I., Astashev, V.K. and Meadows A., "Vibration excitation and energy transfer during ultrasonically assisted drilling", *Journal of Sound and Vibration*; Vol. 308, pp. 805-814, (2007).
6. Chang S.S.F., Bone G.M., "Burr size reduction in drilling by ultrasonic assistance", *International Journal of Robotics Computer-Integrated Manufacturing*; Vol. 21, pp. 442-450, (2004).
7. Wang, X., Wang, L.J. and Tao, J.P., "Investigation on thrust in vibration drilling of fiber-reinforced plastics", *Journal of Materials Processing Technology*; Vol. 148, 2004, pp 239-244.
8. Azarhoushang, B. and Akbari, J., "Ultrasonic-assisted drilling of Inconel 738-LC", *International Journal of Machine Tools & Manufacture*, Vol. 47, pp. 1027-1033, (2007).
9. Pujana J., Rivero A., Celaya A. and Lopez de Lacalle, L.N., "Analysis of ultrasonic-assisted drilling of Ti6Al4V", *International Journal of Machine Tools & Manufacture*, Vol. 49, pp. 500-508, (2009).
10. Zhang, D.Y., Feng, X.J., Wang, L.J. and Chen, D.C., "Study on the drill skidding motion in ultrasonic vibration microdrilling", *International Journal of Machine Tools & Manufacture*; Vol. 34, 1994, pp 847-857.
11. Liaoa, Y.S., Chenb, Y.C. and Lin, H.M., "Feasibility study of the ultrasonic vibration assisted drilling of Inconel superalloy", *International Journal of Machine Tools & Manufacture*, Vol. 47, pp. 1988-1996, (2007).

12. Ma, C.X., Shamoto, E. and Moriwaki, T., "Drilling assisted by ultrasonic elliptical vibration", *Key Engineering Materials*, Vol. 291-292, pp. 443-446, (2005).
13. Gwo L.C., Han J.L., "Using workpiece vibration cutting for micro-drilling", *Int. J. Adv. Manuf. Technol.*; Vol. 27, pp. 688-692, (2006).
14. Chang, S.S.F. and Bone, G.M., "Thrust force model for vibration-assisted drilling of aluminum 6061-T6", *International Journal of Machine Tools & Manufacture*, Vol. 49, pp. 1070-1076, (2009).
15. Arul, S., Vijayaraghavan, L., Malhotra, S.K. and Krishnamurthy, R., "The effect of vibratory drilling on hole quality in polymeric composites", *International Journal of Machine Tools & Manufacture*; Vol. 46, pp. 252-259, (2006).
16. Chang, S.S.F. and Bone, G.M., "Burr height model for vibration assisted drilling of aluminum 6061-T6", *Precision Engineering*, Vol. 34, pp. 369-375, (2010).
17. Yohei, N., Kazuhiro, O., Kenichiro, H., Junichi, K., Takeshi, W. and Shinichi, M., "Attempt to increase step feed by adding ultrasonic vibrations in micro deep drilling", *Journal of Advanced Mechanical Design, Systems, and Manufacturing*, Vol. 5, pp. 129-138, (2011).
18. Neugebauer, R. and Stoll, A., "Ultrasonic application in drilling", *Journal of Materials Processing Technology*; Vol. 149, pp. 633-639, (2004).